


**Замеченные ошибки и опечатки в учебнике
Ю.К.Егорова-Тисменко
«Кристаллография и кристаллохимия»**

	Напечатано	Следует читать
Стр. 14, 14 строка снизу	в основные...	основные...
Стр. 69, рис.2.18 (в)	C N D	N C, D S
Стр. 114, 15 строка снизу	горизонтальной	вертикальной
Стр. 135, 17 строка сверху	<i>orgo</i>	<i>ogdo</i>
Стр. 151, 2 строка снизу	$\Delta ABL \sim \Delta FNO$	$\Delta ABL \sim \Delta ANO$
Стр. 153. 12 строка снизу	$h: k = 1,5:1$	$h: k = 1: \frac{2}{3}$
Стр. 153, 7 строка снизу	$h: k: l = 1,5:1:1 = 3:2:2 \rightarrow (322)$	$h: k: l = 1: \frac{2}{3}: 1 = 3:2:3 \rightarrow (323)$
Стр. 187, рис. 4.13	На стереографических проекциях классов симметрии $m\bar{3}m, 432, m\bar{3}$ проекции граней 7 и 9; классов $\bar{4}3m, 23$ проекции граней 8 и 10	«7» исправить на «9» «9» исправить на «7» «8» исправить на «10» «10» исправить на «8»
Стр. 211, 8,9 строки снизу	109 105 102	10^9 10^5 10^2
Стр. 243, 3 строка снизу		Добавить пробелы между словами
Стр. 329, 13 строка снизу	6_6	6
Стр. 332, 8 строка сверху	2	2_1
Стр. 332, 16 строка сверху	несимморфную	асимморфную
Стр. 333, 2 строка снизу	три	четыре
Стр. 334, 1 строка сверху	две	три
Стр. 334, 1 строка сверху	двух	трех
Стр. 334, 3 строка сверху	третьем	четвертом

Стр. 342, 2 строка сверху	$\frac{1}{3}\frac{2}{3}\pm z$ и $\frac{2}{3}\frac{1}{3}\pm z$	$1/3\ 2/3\ z, 1/3\ 2/3\ \bar{z}+1/2,$ $2/3\ 1/3\ z+1/2, 1/3\ 1/3\ \bar{z}$
Стр. 361, 1 строка снизу	$\bar{4}\ 2\ m$	$\bar{4}\ m\ 2$
Стр. 362, 4 строка сверху	$1/4\ \bar{1}/4\ 0$	$\bar{1}/4\ 1/4\ 0$
Стр. 362, 5 строка сверху	$\bar{4}\ 2\ m$	$\bar{4}\ m\ 2$
Стр. 362, 7 строка сверху	$\bar{4}\ 2\ m$	$\bar{4}\ m\ 2$
Стр. 364, 5 строка снизу	$F\ m\ \bar{3}\ m$	$F\ \bar{4}\ 3\ m$
Стр. 365, 2 строка снизу	пространственной	точечной
Стр. 372, 3-7 строки снизу	Mg - 8 (a) $\bar{4}\ 3\ m$: 000, $\frac{1\ 1\ 1}{4\ 4\ 4}$; Al - 16 (d) $\bar{3}\ m$: $\frac{5\ 5\ 5}{8\ 8\ 8}, \frac{5\ 7\ 7}{8\ 8\ 8}, \frac{7\ 5\ 7}{8\ 8\ 8}, \frac{7\ 7\ 5}{8\ 8\ 8}$; O - $\frac{32(e)}{3m}$: $xxx, x\left(\frac{1}{4}-x\right)\left(\frac{1}{4}-x\right), \left(\frac{1}{4}-x\right)x\left(\frac{1}{4}-x\right), \left(\frac{1}{4}-x\right)\left(\frac{1}{4}-x\right)x$; $\bar{x}\bar{x}\bar{x}, \bar{x}\left(\frac{3}{4}+x\right)\left(\frac{3}{4}+x\right), \left(\frac{3}{4}+x\right)\bar{x}\left(\frac{3}{4}+x\right), \left(\frac{3}{4}+x\right)\left(\frac{3}{4}+x\right)\bar{x}$; где $x \approx 7/8$,	Mg - 8 (a) $\bar{4}\ 3\ m$: 000, $3/4\ 1/4\ 3/4$; Al - 16 (d) $\bar{3}\ m$: $5/8\ 5/8\ 5/8, 3/8\ 7/8\ 1/8,$ $7/8\ 1/8\ 3/8, 1/8\ 3/8\ 7/8$; O - 32(e) $3m$: $xxx, \bar{x}\left(\bar{x}+1/2\right)\left(x+1/2\right),$ $\left(\bar{x}+1/2\right)\left(x+1/2\right)\bar{x},$ $\left(x+1/2\right)\bar{x}\left(\bar{x}+1/2\right),$ $\left(x+3/4\right)\left(x+1/4\right)\left(\bar{x}+3/4\right),$ $\left(\bar{x}+1/4\right)\left(\bar{x}+1/4\right)\left(\bar{x}+1/4\right),$ $\left(x+1/4\right)\left(\bar{x}+3/4\right)\left(x+3/4\right),$ $\left(\bar{x}+3/4\right)\left(x+3/4\right)\left(x+1/4\right)$; где $x \approx 3/8$
Стр. 383, 1 строка снизу	$P\ 6_3/m\ m\ c$	$P\ 6/m\ m\ m$
Стр. 383, 16 и 15 строки снизу	N 2(d) B 2(c)	N 2(c) B 2(d)
Стр. 413, подпись к рис. 6.96	a – четырехслойной, б – шестислойной, в - трехслойной	б – четырехслойной, в – шестислойной, а – трехслойной
Стр. 426, 10 строка сверху	атомов Mg, а в позиции M ₁ – Ca.	атомов Ca, а в позиции M ₁ – Mg.
Стр. 430, подпись к рис. 6.103.	Кристаллическая структура тортвейтита Sc ₂ [Si ₂ O ₇] в полиэдрах в проекции на плоскость xz.	Кристаллическая структура тортвейтита Sc ₂ [Si ₂ O ₇] в полиэдрах в проекции на плоскость xy (a) и xz (б).

Стр. 430, 7 – 11 строки сверху	Кремнекислородный радикал $[\text{Si}_2\text{O}_7]$ впервые был установлен в структуре этого силиката. Относительно крупные катионы Sc^{3+} оказались в октаэдрической координации (рис. 6.103). Ребра Sc-октаэдра несоизмеримы с ребрами Si-О-тетраэдров, что привело к конденсации $[\text{SiO}_4]$ -тетраэдров с образованием несколько деформированных диортогрупп, каждая из которых замыкается на ребро Sc-октаэдра.	Катионы Sc расположены в центрах слегка деформированных октаэдров, связанных по общим ребрам в шестичленные кольца (рис.6.103 а), которые, в свою очередь, объединены в параллельные (001) слои. Диортогруппы $[\text{Si}_2\text{O}_7]$, размещаясь в полостях колец, скрепляют расположенные на двух уровнях по оси z слои из Sc-октаэдров (рис.6.103 б).
Стр. 433, 1 строка снизу, стр.434, 1 строка сверху	которых - голоэдрическая гексагональная группа $\frac{6}{m}mm$ – наследуется всей структурой минерала (рис.6.107 а).	которых описывается голоэдрической гексагональной группой $\frac{6}{m}mm$ (рис.6.107 а).
Стр. 434, 3 – 4 строки сверху	Соседние кольца $[\text{Si}_6\text{O}_{18}]$, расположенные в структуре друг над другом, связаны Ве-тетраэдрами в колонки,	Расположенные на двух уровнях по оси c и развернутые друг относительно друга (что обеспечивает для всей структуры пространственную группу $P6/mcc$) кольца $[\text{Si}_6\text{O}_{18}]$ связаны Ве-тетраэдрами в колонки,
Стр. 492, 14 строка снизу	2_2	2
Стр. 530, рис. II, к задаче 14, вариант 1-б		Около проекций граней добавить букву «л» (4 раза)
Стр. 531, рис. III к задаче 15, (ж,5,6), (и,1)		Добавить знак 
Стр. 537, задача 35, вариант р)	$\begin{pmatrix} 0 & 1 & 0 \\ 1 & \bar{1} & 0 \\ 0 & 0 & 1 \end{pmatrix}$	$\begin{pmatrix} 0 & 1 & 0 \\ \bar{1} & \bar{1} & 0 \\ 0 & 0 & \bar{1} \end{pmatrix}$
Стр. 558, рис.216 (и)	1	$\frac{1}{4}$
Стр. 570, 8 строка снизу левой колонки	Оливин419, 424	Оливин ...369, 419, 424
Стр. 564, 8 строка сверху (левая колонка)	Кальций	Кальцит